

## ECMA - Projet d'optimisation robuste

### Cours ECMA

ALES Zacharie (zacharie.ales@ensta.fr)  
 PORUMBEL Daniel (daniel.porumbel@cnam.fr)

Adapté de [la présentation ROADEF 2017 de Michael Poss](#)

1 / 45

## Sommaire

- 1 Qu'est-ce que l'optimisation robuste ?
- 2 Résolution par dualisation
- 3 Résolution par plans coupants
- 4 Ensembles d'incertitude plus structurés
- 5 Projet

2 / 45

## Optimisation robuste

### Notation

- $u$  : donnée(s) d'un problème d'optimisation  
 Ex : distance entre deux villes, poids d'un objet, ...

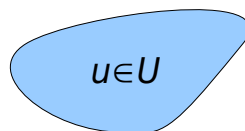
### Problème

**Comment prendre en compte l'aléa de la valeur de  $u$  ?**

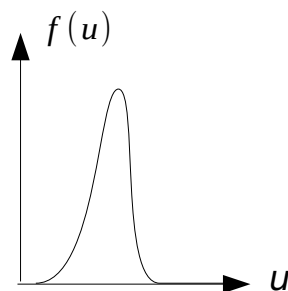
Mean value  
(Deterministic)

$$E[u]$$

Robust



Stochastic



3 / 45

## L'optimisation robuste considère le pire des cas

Contrairement à l'optimisation stochastique qui optimise en moyenne



4 / 45

## Types de problèmes robustes

### Statique

#### Prise de décisions → L'incertitude est révélée

- Facile pour la PL ☺
- $\mathcal{NP}$ -difficile pour l'optimisation combinatoire ☹
- Il existe des reformulation MILP ☺

### Deux niveaux

#### Prise de décision → L'incertitude est révélée → Autres décisions

- $\mathcal{NP}$ -difficile pour la PL ☹
- Algorithmes de décomposition ☺

### Plusieurs niveaux

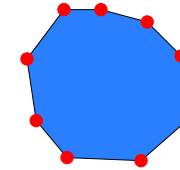
#### Décisions → Incertitude → Décisions → Incertitude → ...

- $\mathcal{NP}$ -difficile pour la PL ☹
- Non résolvable optimalement ☹

5/45

## Incertainité discrète ou continue

Soit  $\mathcal{U} = \text{sommets}(\mathcal{P})$



### Remarque

Dans la plupart des cas,  $\mathcal{U} \sim \mathcal{P}$

### Exceptions

- contraintes robustes  $f(x, u) \leq b$  avec  $f$  **non-concave** en  $u$
- problèmes multi-niveaux avec des variables d'ajustement entières

6/45

## Optimisation combinatoire robuste

### CO - Problème combinatoire

- $\mathcal{X} \subseteq \{0, 1\}^n, u \in \mathbb{R}^n$
- Variables  
 $\min_{x \in \mathcal{X}} ux$

### $\mathcal{U}$ -CO - Problème combinatoire robuste avec incertitude sur $u$

- $\mathcal{X} \subseteq \{0, 1\}^n, \mathcal{U}^0 \subset \mathbb{R}^n$
- Valeurs possibles de  $u$   
... le coût pour le pire scénario  $u^0$   
Solution  $x$  qui minimise... →  $\min_{x \in \mathcal{X}} \max_{u^0 \in \mathcal{U}^0} u^0 x$

### Problème combinatoire robuste avec regret

$$\min_{x \in \mathcal{X}} \max_{u^0 \in \mathcal{U}^0} \min_{y \in \mathcal{X}} (u^0 x - u^0 y)$$

Coût optimal pour  $u^0$   
Solution optimale pour  $u^0$

7/45

## Contraintes robustes

### Contraintes

$$\mathcal{X} = \mathcal{X}^{\text{comb}} \cap \mathcal{X}^{\text{num}}$$

Contraintes statiques ↑      ↑ Contraintes robustes

### $\mathcal{U}$ -CO

$$\min_x \left\{ \begin{array}{l} \max_{u^0 \in \mathcal{U}^0} u^0 x \\ x \in \mathcal{X}^{\text{comb}} \\ x \in \mathcal{X}^{\text{num}} \end{array} \right\}$$

### Exemple de contraintes robustes

- $\mathcal{X}^{\text{num}} = \{x \in \{0, 1\}^n \text{ tel que } u^j x \leq b_j, \mathbf{u}^j \in \mathcal{U}^j \forall j = 1, \dots, m\}$
- Valeurs possibles des coefficients de la contrainte  $j$

8/45

## Exemple de problème robuste

### Sac à dos statique

$$\begin{aligned} \text{Prix de l'objet } i \downarrow \downarrow &= \begin{cases} 1 & \text{si } i \text{ est dans le sac} \\ 0 & \text{sinon} \end{cases} \\ \max_x \sum_{i \in S} u_i x_i & \leftarrow \text{Objets} \\ \sum_{i \in S} w_i x_i \leq K & \leftarrow \text{Capacité du sac} \\ x_i \in \{0, 1\} \quad i \in S & \leftarrow \text{Poids de l'objet } i \end{aligned}$$

### Variante robuste

$$\begin{aligned} \max_x \min_{u^0 \in \mathcal{U}^0} \sum_{i \in S} u_i^0 x_i \\ \sum_{i \in S} w_i^1 x_i \leq K \quad w^1 \in \mathcal{U}^1 \\ x_i \in \{0, 1\} \quad i \in S \end{aligned}$$

Incertitude sur les prix  $\uparrow$  Incertitude sur les poids  $\uparrow$

9/45

## Exemple de problème robuste

### $\mathcal{U}^0$ : incertitude sur l'objectif

Au plus 10€ est retiré à la valeur des objets

$$\mathcal{U}^0 = \left\{ \{u_i^0 = \bar{u}_i - \delta_i^0\}_{i \in S} \mid \begin{array}{l} \text{Valeur nominale (constante)} \uparrow \quad \text{Valeur retirée (variable)} \end{array} \right\}$$

### $\mathcal{U}^1$ : incertitude des contraintes

1kg peut être ajouté au poids de l'ensemble des objets

$$\mathcal{U}^1 = \left\{ \{w_i^1 = \bar{w}_i + \delta_i^1\}_{i \in S} \mid \begin{array}{l} \text{Poids nominal (constant)} \uparrow \quad \text{Poids ajouté (variable)} \end{array} \right\}$$

10/45

## Incertitude discrète : $\mathcal{U}$ -CO est difficile [Kouvelis and Yu, 2013]

### Théorème

Le plus court chemin robuste, l'affectation, l'arbre couvrant, ..., sont  $\mathcal{NP}$ -difficile même quand  $|\mathcal{U}| = 2$

### Preuve - Problème de sélection

Polynomial  $\downarrow$

1 Problème de sélection :  $\min_{S \subseteq N, |S|=p} \sum_{i \in S} u_i$   
Choisir  $p$  objets de poids minimal

2 Problème de sélection ROBUST :  $\min_{S \subseteq N, |S|=p} \max_{u \in \mathcal{U}} \sum_{i \in S} u_i$

$\mathcal{NP}$ -difficile au sens faible  $\downarrow$

3 Problème de partitionnement :  $\min_{S \subseteq N, |S|=|N|/2} \max \left( \sum_{i \in S} a_i, \sum_{i \in N \setminus S} a_i \right)$   
Poids minimal de la plus grande des deux parties

Construction d'une instance de sélection robuste à partir d'une instance de partitionnement

4 Réduction :  $p = \frac{|N|}{2}$ , et  $\mathcal{U} = \{u^1, u^2\}$  tel que

On sélectionne la moitié des objets

$$u_i^1 = a_i \quad \text{et} \quad u_i^2 = \frac{2}{|N|} \sum_{k \in N} a_k - a_i$$

$\sum_{i \in N} u_i^1$  : poids des objets sélectionnés  $\uparrow$   $\sum_{i \in N} u_i^2$  : poids des autres objets  $\uparrow$

$$\Rightarrow \forall S \max_{u \in \mathcal{U}} \sum_{i \in S} u_i = \max \left( \sum_{i \in S} a_i, \sum_{i \in N \setminus S} a_i \right)$$

11/45

## Incertitude polyédrale: $\mathcal{U}$ -CO est toujours difficile (mais résoluble)

**Est-ce mieux quand l'incertitude est décrite par un polytope plutôt que des scénarios ?**

### Théorème

Le plus court chemin robuste, l'affectation, l'arbre couvrant, ... sont  $\mathcal{NP}$ -difficile même quand  $\mathcal{U}$  a une description compacte

### Preuve

1  $\mathcal{U} = \text{conv}(u^1, u^2)$

2  $ux \leq b, \quad u \in \mathcal{U} \Leftrightarrow ux \leq b, \quad u \in \text{ext}(\mathcal{U})$

### Ben-Tal and Nemirovski [1998]

Le problème  $\mathcal{U}$ -CO est équivalent à un MILP

12/45

## Sommaire

- 1 Qu'est-ce que l'optimisation robuste ?
- 2 Résolution par dualisation
- 3 Résolution par plans coupants
- 4 Ensembles d'incertitude plus structurés
- 5 Projet

13/ 45

## Dualisation - Incertitude sur les coûts

### Théorème Ben-Tal and Nemirovski [1998]

Soient  $\alpha \in \mathbb{R}^{l \times n}$  et  $\beta \in \mathbb{R}^l$  définissant le polytope

$$\mathcal{U} := \{u \in \mathbb{R}_+^n : \alpha_k u \leq \beta_k, k = 1, \dots, l\}$$

Le problème  $\min_{x \in \mathcal{X}} \max_{u \in \mathcal{U}} ux$  est équivalent à un MILP compact

Ne veut pas dire que le problème garde sa complexité (ex : perte d'unimodularité)

### Preuve

- 1 Dualiser la maximisation interne

$$\min_{x \in \mathcal{X}} \max_{u \in \mathcal{U}} ux = \min_{x \in \mathcal{X}} \min \left\{ \sum_{k=1}^l \beta_k z_k : \sum_{k=1}^l \alpha_{ki} z_k \geq x_i, i = 1, \dots, n, z \geq 0 \right\}$$

- 2 Regrouper les deux min

14/ 45

## Exemple de dualisation - Problème de sac à dos

### Rappel

$$\mathcal{U}^0 = \left\{ \{u_i^0 = \bar{u}_i - \delta_i^0\}_{i \in S} \mid \sum_{i \in S} \delta_i^0 \leq 10, \delta_i^0 \geq 0 \forall i \in S \right\}$$

### 1.1 - Isoler $\delta^0$

$$\max_x \min_{u^0 \in \mathcal{U}^0} \sum_{i \in S} u_i^0 x_i = \dots = \dots$$

Développer  $\mathcal{U}^0$  ↗

$$\sum_{i \in S} \delta_i^0 \leq 10 \quad \delta_i^0 \geq 0 \quad i \in S \quad \sum_{i \in S} \delta_i^0 \leq 10 \quad \delta_i^0 \geq 0 \quad i \in S$$

### 2.1 - Dualiser la minimisation interne

$$\min_{\delta^0} \sum_{i \in S} \bar{u}_i x_i - \delta_i^0 x_i = \max_{\alpha} 10\alpha$$

$$\sum_{i \in S} \delta_i^0 \leq 10 \quad (\alpha) \quad \alpha \leq -x_i \quad i \in S$$

$$\delta_i^0 \geq 0 \quad i \in S \quad \alpha \leq 0 \quad i \in S$$

**x est considéré constant pour la dualisation !**

### 3.1 - Remplacer la minimisation par son dual dans le problème initial

$$\max_x \sum_{i \in S} \bar{u}_i x_i + \min_{\delta^0} -\delta_i^0 x_i = \dots = \dots$$

$$\sum_{i \in S} \delta_i^0 \leq 10 \quad \delta_i^0 \geq 0 \quad i \in S \quad \alpha \leq -x_i \quad i \in S \quad \alpha \leq 0 \quad i \in S$$

15/ 45

## Exemple de dualisation - Problème de sac à dos

### Notations

$$\mathcal{U}^1 = \left\{ \{w_i^1 = \bar{w}_i + \delta_i^1\}_{i \in S} \mid \sum_{i \in S} \delta_i^1 \leq 1, \delta_i^1 \geq 0 \forall i \in S \right\}$$

### 1.2 - Isoler $\delta^1$

$$\sum_{i \in S} w_i^1 x_i \leq K \quad \forall w^1 \in \mathcal{U}^1 =$$

Développer  $\mathcal{U}^1$  ↗

$$\sum_{i \in S} \delta_i^1 \leq 1 \quad \delta_i^1 \geq 0$$

### 2.2 - Dualiser la maximisation interne

$$\max_{\delta^1} \sum_{i \in S} x_i \delta_i^1 = \min_{\beta} \beta$$

$$\sum_{i \in S} \delta_i^1 \leq 1 \quad (\beta) \quad \beta \geq x_i \quad i \in S$$

$$\delta_i^1 \geq 0 \quad i \in S$$

### 3.2 - Remplacer la minimisation par son dual dans le problème initial

$$\sum_{i \in S} \bar{w}_i^1 x_i + \max_{\delta^1} \sum_{i \in S} \delta_i^1 x_i \leq K \Leftrightarrow \dots \Leftrightarrow \dots$$

$$\sum_{i \in S} \delta_i^1 \leq 1, \delta_i^1 \geq 0 \quad \beta \geq x_i \quad i \in S \quad \beta \geq x_i \quad i \in S$$

16/ 45

## Sommaire

- 1 Qu'est-ce que l'optimisation robuste ?
- 2 Résolution par dualisation
- 3 Résolution par plans coupants
- 4 Ensembles d'incertitude plus structurés
- 5 Projet

17/ 45

## Algorithme de plans coupants [Bertsimas et al., 2016]

### $\mathcal{U}$ -CO

$$\min_x \left\{ \begin{array}{l} \max_{u^0 \in \mathcal{U}^0} u^0 x : \\ x \in \mathcal{X}^{num} \\ x \in \mathcal{X}^{comb} \end{array} \right\}$$

### Reformulation de l'objectif

$$\min_{z,x} \left\{ \begin{array}{l} z : \\ \dots\dots\dots' \dots\dots\dots' \\ x \in \mathcal{X}^{num} \\ x \in \mathcal{X}^{comb} \end{array} \right\}$$

18/ 45

## Algorithme de plans coupants [Bertsimas et al., 2016]

### Définition - Problème maître (MP)

$$\min_{z,x} \left\{ \begin{array}{l} z : \\ u^0 x \leq z, \quad u^0 \in \mathcal{U}^{0*}, \\ u^j x \leq b_j, \quad j = 1, \dots, m, \quad u^j \in \mathcal{U}^{j*}, \\ x \in \mathcal{X}^{comb} \end{array} \right\}$$

### Sous-problème 1 (SPo)

$$\max_{u^0 \in \mathcal{U}^0} u^0 x^* \quad \uparrow \text{Fixé !}$$

### Sous-problème 2 (SPj)

$$\max_{u^j \in \mathcal{U}^j} u^j x^* \quad \uparrow \text{Fixé !}$$

### Algorithme des plans coupants

- 1 Résoudre MP  $\rightarrow x^*, z^*$
- 2 Résoudre SPo  $\rightarrow u^{0*}$  et SP1 à SPm  $\rightarrow u^{1*}, \dots, u^{m*}$
- 3 Si  $u^{0*} x^* > z^*$  et/ou  $u^{j*} x^* > b_j$  alors
  - $\mathcal{U}^{0*} \leftarrow \mathcal{U}^{0*} \cup \{u^{0*}\}$  et/ou  $\mathcal{U}^{j*} \leftarrow \mathcal{U}^{j*} \cup \{u^{j*}\}$
  - aller à 1

19/ 45

## Exemple d'algorithme de plans coupants - Problème de sac à dos

### Notations

- $\mathcal{U}^0 = \left\{ \{u_i^0 = \bar{u}_i - \delta_i^0\}_{i \in S} \mid \sum_{i \in S} \delta_i^0 \leq 10, \delta_i^0 \geq 0 \forall i \in S \right\}$   
 (valeur de  $i$  (€))
- $\mathcal{U}^1 = \left\{ \{w_i^1 = \bar{w}_i + \delta_i^1\}_{i \in S} \mid \sum_{i \in S} \delta_i^1 \leq 1, \delta_i^1 \geq 0 \forall i \in S \right\}$   
 (poids de  $i$  (kg))

### 1 - Reformuler l'objectif

Original	Reformulé
$\max_x \min_{u^0 \in \mathcal{U}^0} \sum_{i \in S} u_i^0 x_i$ $\sum_{i \in S} w_i^1 x_i \leq K \quad w^1 \in \mathcal{U}^1$ $x_i \in \{0, 1\} \quad i \in S$	$\max_{z,x} z$ $\dots\dots\dots$ $\sum_{i \in S} w_i^1 x_i \leq K \quad w^1 \in \mathcal{U}^1$ $x_i \in \{0, 1\} \quad i \in S$

### 2 - Définir le problème maître (MP)

Remplacer  $\mathcal{U}^0$  et  $\mathcal{U}^1$  par de petits sous-ensembles  $\mathcal{U}^{0*}$  et  $\mathcal{U}^{1*}$

ex :  $\{\{u_i^0 = \bar{u}_i\}_{i \in S}\} \uparrow$   $\uparrow$  ex :  $\{\{w_i^1 = \bar{w}_i\}_{i \in S}\}$

20/ 45

## Exemple d'algorithme de plans coupants - Problème de sac à dos

### 3 - Résoudre MP

⇒  $x^*$  et  $z^*$

### 4 - Vérifier si $x^*$ et $z^*$ satisfont toutes les contraintes robustes de $\mathcal{U}^0$ et $\mathcal{U}^1$

⇒ nécessite de résoudre 1 sous-problème pour chaque ensemble d'incertitude

21 / 45

## Exemple d'algorithme de plans coupants - Problème de sac à dos

### Rappel

$$\mathcal{U}^0 = \left\{ \{u_i^0 = \bar{u}_i - \delta_i^0\}_{i \in S} \mid \sum_{i \in S} \delta_i^0 \leq 10, \delta_i^0 \geq 0 \forall i \in S \right\}$$

### 4.1 - Sous-problème lié à $\mathcal{U}^0$

$$\min_{u^0 \in \mathcal{U}^0} \sum_{i \in S} u_i^0 x_i^* = \dots \dots \dots$$

.....

.....

- Le résoudre ⇒  $\delta^{0*}$   **$x^*$  est constant !**
- Si  $z^*$  et  $x^*$  ne satisfont pas le scénario  $\delta^{0*}$  de  $\mathcal{U}^0$   
 Si  $z^* > \sum_{i \in S} (\bar{u}_i - \delta_i^{0*}) x_i^*$   
 Ajouter le scénario au MP  
 Ajouter la contrainte  $z \leq \sum_{i \in S} (\bar{u}_i - \delta_i^{0*}) x_i$

22 / 45

## Exemple d'algorithme de plans coupants

### Rappel

$$\mathcal{U}^1 = \left\{ \{w_i^1 = \bar{w}_i + \delta_i^1\}_{i \in S} \mid \sum_{i \in S} \delta_i^1 \leq 1, \delta_i^1 \geq 0 \forall i \in S \right\}$$

### 4.2 - Sous-problème lié à $\mathcal{U}^1$

$$\sum_{i \in S} w_i^1 x_i^* \leq K \quad \forall w^1 \in \mathcal{U}^1 \Leftrightarrow \dots \dots \dots$$

$$\sum_{i \in S} \delta_i^1 \leq 1$$

$$\delta_i^1 \geq 0 \quad i \in S$$

- Le résoudre ⇒  $\delta^{1*}$
- Si  $z^*$  et  $x^*$  ne satisfont pas le scénario  $\delta^{1*}$  de  $\mathcal{U}^1$   
 Si  $\sum_{i \in S} (\bar{w}_i + \delta_i^{1*}) x_i^* > K$   
 Ajouter le scénario au MP  
 Ajouter la contrainte  $\sum_{i \in S} (\bar{w}_i + \delta_i^{1*}) x_i \leq K$

### 5

Répéter les étapes 3 et 4 jusqu'à ce que tous les scénarios soient satisfait

23 / 45

**En pratique on ne sait pas si c'est la dualisation ou les plans coupants qui seront les plus efficaces**

24 / 45

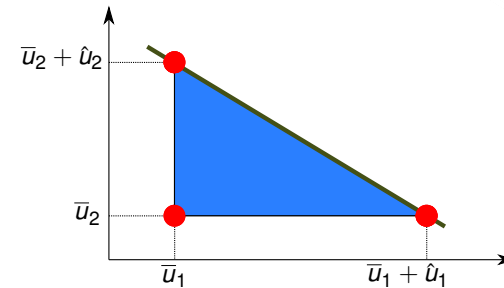
## Sommaire

- 1 Qu'est-ce que l'optimisation robuste ?
- 2 Résolution par dualisation
- 3 Résolution par plans coupants
- 4 Ensembles d'incertitude plus structurés
- 5 Projet

25/ 45

## Structure plus simple : Optimisation combinatoire robuste $\mathcal{U}^\Gamma$

- $\mathcal{U}$  = sommets( $\mathcal{P}$ ) : bien, mais on souhaite un  $\mathcal{P}$  "plus simple"



$$\mathcal{U}^\Gamma = \left\{ \bar{u}_i \leq u_i \leq \bar{u}_i + \hat{u}_i, i = 1, \dots, n, \sum_{i=1}^n \frac{u_i - \bar{u}_i}{\hat{u}_i} \leq \Gamma \right\}$$

26/ 45

## Algorithme itératif pour $\mathcal{U}^\Gamma$

$$\mathcal{U}^\Gamma = \text{sommets} \left( \left\{ \bar{u}_i \leq u_i \leq \bar{u}_i + \hat{u}_i, i = 1, \dots, n, \sum_{i=1}^n \frac{u_i - \bar{u}_i}{\hat{u}_i} \leq \Gamma \right\} \right)$$

**Théorème** - Bertsimas and Sim [2003], Goetzmann et al. [2011], Álvarez-Miranda et al. [2013], Lee and Kwon [2014]

Incertitude sur l'objectif  $\mathcal{U}^\Gamma$ -CO  $\Rightarrow$  résoudre  $\sim n/2$  problèmes CO

Incertitude sur  $m$  contraintes  $\mathcal{U}^\Gamma$ -CO  $\Rightarrow$  résoudre  $\sim (n/2)^m$  problèmes CO

27/ 45

## Autre ensembles convexes $\mathcal{U}$ (pour rappel $\mathcal{U} \Leftrightarrow \text{conv}(\mathcal{U})$ )

### Déviati on totale

$$\left\{ \bar{u} \leq u \leq \bar{u} + \hat{u}, \sum_{i=1}^n (u_i - \bar{u}_i) \leq \Omega \right\} \Rightarrow \text{résoudre 2 problèmes CO}$$

### Incertitude de type sac à dos [Poss, 2017]

$$\left\{ \bar{u} \leq u \leq \bar{u} + \hat{u}, \sum_{i=1}^n a_i u_i \leq b \right\} \Rightarrow \text{résoudre } n \text{ problèmes CO}$$

### Decision-dependent [Poss, 2013, 2014, Nohadani and Sharma, 2016]

$$\left\{ \bar{u} \leq u \leq \bar{u} + \hat{u}, \sum_{i=1}^n a_i u_i \leq b(x) \right\} \Rightarrow \text{résoudre } n \text{ problèmes CO}$$

### Ellipsoïdes aux axes parallèles [Mokarami and Hashemi, 2015]

$$\left\{ \sum_{i=1}^n \left( \frac{u_i - \bar{u}_i}{\hat{u}_i} \right)^2 \leq \Omega \right\} \Rightarrow \text{résoudre } n \max_i \hat{u}_i \text{ problèmes CO}$$

28/ 45

### Est-ce que tous les problèmes sont simples ?

Non, les problèmes difficiles doivent :

- 1 avoir un nombre non-constant de contraintes "linéaires" robustes ; ou
- 2 avoir des contraintes ou coûts "non-linéaires"

### Théorème Pessoa et al. [2015]

Le plus court chemin  $\mathcal{U}^T$ -robuste avec fenêtre de temps est  $\mathcal{NP}$ -difficile au sens fort

### Théorème Bougeret et al. [2016]

Minimiser la somme pondérée des dates de fin est  $\mathcal{NP}$ -difficile au sens fort

29/45

## Conclusion

### Problèmes statiques

- Solutions numériques par **dualisation** ou **décomposition**
- $\mathcal{U}$  "bonne" structure et objectif non linéaire  
⇒ problème ouverts intéressants

### Problèmes ajustables

- Sujet d'actualité
- Très dur à résoudre !

### Lien avec les autres cours

- Data driven robust optimization
- Projet RORT  
Plus court chemin avec attaquant

30/45

## Sommaire

- 1 Qu'est-ce que l'optimisation robuste ?
- 2 Résolution par dualisation
- 3 Résolution par plans coupants
- 4 Ensembles d'incertitude plus structurés
- 5 **Projet**

31/45

## Présentation du projet

### Objectif

**Implémenter et comparer des méthodes de résolution d'un problème de plus court chemin robuste**

### Notations

- $G = (V, A)$
- $s, t \in V$ : sommets source and puits
- $d_{ij}$ : distance entre les sommets  $i$  et  $j$
- $p_i$ : poids du sommet  $i$

### Problème de plus court chemin statique avec poids sur les sommets

$$\min_{x \in \mathcal{X}^{comb}} \mathbf{U}x$$

↑  $\{x \in \{0, 1\}^{|A|} \mid x \text{ est un chemin de } s \text{ à } t \text{ de poids } \leq S\}$

32/45



## Présentation du projet

### Notations

- $d_{ij}$ : distance entre  $i$  et  $j$
- $p_i$ : poids de  $i$

### Problème de plus court chemin robuste considéré

$$\min_{\substack{x \in \mathcal{X}^{comb} \\ x \text{ is a path}}} \left\{ \max_{d^1 \in \mathcal{U}^1} d^1 x \mid \begin{array}{l} x \in \mathcal{X}^{num} \\ \{s-t \text{ path of weight} \leq S \text{ for all weight } p^2 \in \mathcal{U}^2\} \end{array} \right\}$$

### Incertainité de l'objectif

$$\mathcal{U}^1 = \left\{ \{d_{ij}^1 = d_{ij}(1 + \delta_{ij}^1)\}_{ij \in A} \text{ tel que } \begin{array}{l} \sum_{ij \in A} \delta_{ij}^1 \leq d_1 \\ \delta_{ij}^1 \in [0, D_{ij}] \forall ij \end{array} \right\}$$

33/ 45

## Présentation du projet

### Problème de plus court chemin robuste considéré

$$\min_{\substack{x \in \mathcal{X}^{comb} \\ x \text{ is a path}}} \left\{ \max_{d^1 \in \mathcal{U}^1} d^1 x \mid \begin{array}{l} x \in \mathcal{X}^{num} \\ \{s-t \text{ chemin de poids} \leq S \text{ for all weight } p^2 \in \mathcal{U}^2\} \end{array} \right\}$$

### Incertainité sur les contraintes

$$\mathcal{U}^2 = \left\{ \{p_i^2 = p_i + \delta_i^2\}_{i \in V} \text{ tel que } \begin{array}{l} \sum_{i \in V} \delta_i^2 \leq d_2 \\ \delta_i^2 \in [0, 2] \forall i \end{array} \right\}$$

34/ 45

## Instances

### Données

- 9<sup>ème</sup> challenge DIMACS
- Villes américaines
- Entre 20 et 3500 sommets

### Exemple de fichier de données

```
n = 20
s = 15
t = 17
S = 66
d1 = 2
d2 = 5
p = [14, 4, ..., 12, 9]
ph = [1, 1, ..., 4, 1]
Mat = [
  1 2 1457 0.45;
  1 3 1441 0.67;
  1 4 2477 0.77;
  ...
  20 16 2691 0.83;
  20 17 3179 0.98;
  20 18 439 0.14]
```

35/ 45

## Travail demandé

### 1 - Partie théorique

- 1 Modélisation **compacte** du problème statique
- 2 Modélisation **compacte** du problème robuste
- 3 Définition des sous-problèmes associés à  $\mathcal{U}^0$  et  $\mathcal{U}^1$
- 4 Dualisation du problème associé à l'incertitude de l'objectif

### 2 - Implémentation (langage de programmation libre)

Pour ce problème, implémenter et comparer

- 1 un algorithme de plans coupants
- 2 un branch-and-cut
- 3 la dualisation
- 4 une heuristique ou une formulation non compacte

36/ 45

## Algorithme de plans coupants

### Principe

MP ← problème de plus court chemin statique

- 1  $x^* \leftarrow$  résoudre MP
- 2  $u^{1*} \leftarrow$  résoudre le sous-problème associé à l'objectif  
Ajouter un scénario s'il n'est pas satisfait
- 3  $u^{2*} \leftarrow$  résoudre le sous-problème associé à la contrainte  
Ajouter un scénario s'il n'est pas satisfait
- 4 Aller à l'étape 1 si une contrainte est ajoutée

### Choix d'implémentation

- Définition de MP  
Choix des scénarios dans  $\mathcal{U}^1$  et  $\mathcal{U}^2$
- Résolution des sous-problèmes  
De manière exacte ou approchée

37/45

## Branch-and-cut

### Principe

Similaire aux plans coupants mais les sous-problèmes sont résolus à chaque noeuds de l'arbre de branchement de MP qui retournent une solution entière

Avantage : ne pas repartir de 0 après chaque ajout de contrainte

Comment faire ?

38/45

### Définition - Callback

Fonctions données en entrée d'un solveur MILP

### Type de callbacks

Nom	Quand est-il appelé ?	Que fait-il ?
User cut	nouvelle relaxation	trouve des coupes
Lazy	nouvelle solution entière	trouve des coupes
Heuristic	nouvelle relaxation	trouve une solution entière
Branch	nouvelle relaxation	choisi sur quelle variable brancher
Node	nouvelle relaxation	choisi le prochain sommet à explorer

### Choix d'implémentation

- Similaire aux plans coupants
- Utilisation possible d'autres callback

39/45

## Dualisation

### Principe

Résoudre le problème dualisé

40/45

## Heuristique

### Principe

Trouver une "bonne" solution heuristiquement

- Donner un gap en calculant la relaxation du problème dualisé

41/ 45

## Comparaison des résultats

### Comparaison des méthodes

- Temps de résolution à l'optimum
- Gap si le temps maximal est atteint

### Comparaison des solutions statiques et robustes

- poids
- coûts
- longueur
- ...

### Présentation des résultats

- Tableaux  
ex : [une instance par ligne](#)
- Diagramme de performances  
[Trace le nombre d'instances résolues en fonction du temps](#)

42/ 45

### Links with other courses

- Data driven robust optimization
- RORT project  
[Shortest-path with attacker](#)

43/ 45

## Références I

- E. Álvarez-Miranda, I. Ljubić, and P. Toth. A note on the bertsimas & sim algorithm for robust combinatorial optimization problems. 4OR, 11(4): 349–360, 2013.
- A. Ben-Tal and A. Nemirovski. Robust convex optimization. Mathematics of Operations Research, 23(4):769–805, 1998.
- D. Bertsimas and M. Sim. Robust discrete optimization and network flows. Math. Program., 98(1-3):49–71, 2003.
- Dimitris Bertsimas, Iain Dunning, and Miles Lubin. Reformulation versus cutting-planes for robust optimization. Computational Management Science, 13(2):195–217, 2016.
- M. Bougeret, Artur A. Pessoa, and M. Poss. Robust scheduling with budgeted uncertainty, 2016. Submitted.
- K.-S. Goetzmann, S. Stiller, and C. Telha. Optimization over integers with robustness in cost and few constraints. In WAOA, pages 89–101, 2011.
- P. Kouvelis and G. Yu. Robust discrete optimization and its applications, volume 14. Springer Science & Business Media, 2013.

44/ 45

## Références II

Taehan Lee and Changhyun Kwon. A short note on the robust combinatorial optimization problems with cardinality constrained uncertainty. 4OR, pages 373–378, 2014.

Shaghayegh Mokarami and S Mehdi Hashemi. Constrained shortest path with uncertain transit times. Journal of Global Optimization, 63(1): 149–163, 2015.

Omid Nohadani and Kartikey Sharma. Optimization under decision-dependent uncertainty. arXiv preprint arXiv:1611.07992, 2016.

A. A. Pessoa, L. Di Puglia Pugliese, F. Guerriero, and M. Poss. Robust constrained shortest path problems under budgeted uncertainty. Networks, 66(2):98–111, 2015.

M. Poss. Robust combinatorial optimization with variable budgeted uncertainty. 4OR, 11(1):75–92, 2013.

M. Poss. Robust combinatorial optimization with variable cost uncertainty. European Journal of Operational Research, 237(3):836–845, 2014.

Michael Poss. Robust combinatorial optimization with knapsack uncertainty. 2017. Available at [hal.archives-ouvertes.fr/tel-01421260](http://hal.archives-ouvertes.fr/tel-01421260).